



دانشگاه شهرورد و مهندسی شهرکرد

مجله پژوهش‌های حفاظت آب و خاک  
جلد شانزدهم، شماره سوم، ۱۳۸۸  
[www.gau.ac.ir/journals](http://www.gau.ac.ir/journals)

## بررسی تأثیر روش محاسبه، طول دوره حداکثر نیاز آبی و سطوح احتمال در برآورد بهینه آب مورد نیاز گیاه (مطالعه موردي منطقه همدان)

مجید حیدری<sup>۱</sup>، صفر معروفی<sup>۲\*</sup>، علی‌اکبر سبزی‌پرور<sup>۳</sup>  
سیده شقایق میرمسعودی<sup>۳</sup> و فرشته قیامی<sup>۳</sup>

<sup>۱</sup>استادیار گروه آبیاری و زهکشی، دانشگاه بوعالی سینا همدان، <sup>۲</sup>دانشیار گروه آبیاری و زهکشی، دانشگاه بوعالی سینا همدان،

<sup>۳</sup>دانشجوی کارشناسی ارشد گروه آبیاری و زهکشی، دانشگاه بوعالی سینا همدان

تاریخ دریافت: ۸۸/۲/۲۲؛ تاریخ پذیرش: ۸۸/۹/۳

### چکیده

پژوهش‌های اخیر نشان می‌دهد در صورتی که از مقادیر میانگین تبخیر و تعرق مرجع (ET<sub>0</sub>) جهت تأمین نیاز آبی گیاه استفاده شود، نیاز آبی واقعی گیاه تأمین نخواهد شد که در این شرایط ممکن است گیاه با تنفس آبی روبرو شده و یا بیش از نیاز آب دریافت کند. با توجه به تأثیر روش محاسبه تبخیر و تعرق، دور آبیاری و سطح احتمال وقوع بر نیاز آبی گیاه، محاسبه دقیق تأثیر عوامل بالا به عنوان یک موضوع پژوهشی، ضروری به نظر می‌رسد. در این پژوهش با استفاده از آمار و اطلاعات ایستگاه سینوپتیک نوژه همدان مقدار تبخیر و تعرق گیاه مرجع برای هر روز ژولینوسی از سال در طول دوره آماری (۱۹۷۷-۲۰۰۶) با ۵ روش بلانی-کریدل، پنمن (۱۹۶۳)، پنمن-فائز-۲۴، پنمن-مانتیث و فائز-پنمن-مانتیث محاسبه شد. سپس با به کارگیری ضریب گیاهی گندم برای منطقه مورد نظر مقادیر ET<sub>c</sub> محصول گندم در طول دوره رشد به منظور بررسی اثر روش‌های بالا در میزان آب مورد نیاز گیاهان محاسبه گردید. در این رابطه تاریخ شروع و خاتمه دوره‌های حداکثر نیاز آبی گیاه با استفاده از روش میانگین متوجه استخراج و منحنی‌های میانگین تبخیر و تعرق روزانه برای دوره‌های

\* مسئول مکاتبه: [swsabzi@basu.ac.ir](mailto:swsabzi@basu.ac.ir)

۱ تا ۳۰ روزه حداقل نیاز آبی با احتمال وقوع های متفاوت با توجه به تاریخ به دست آمده ترسیم گردید. نتایج به دست آمده از منحنی های استخراج شده نشان داد در صورتی که طراحی سیستم آبیاری بر اساس میانگین ETC گندم (طول دوره ۷ روزه) با احتمال وقوع ۵۰ درصد و با روش های بلانی - کریدل، فائز- پنمن- مانتیث، پنمن (۱۹۶۳)، پنمن- فائز- ۲۴ و پنمن- مانتیث صورت پذیرد، ظرفیت سیستم جهت تأمین آب به ترتیب برای روش های بالا حدود ۱۲، ۱۰، ۱۸ و ۱۵ درصد کمتر از حالتی خواهد بود که احتمال وقوع ۷۵ درصد اعمال شده است. تجزیه و تحلیل مقادیر نیاز آبی گیاه در سطوح احتمالاتی بیشتر از ۵۰ درصد نیز بیانگر این است که با افزایش دوره های حداقل نیاز آبی، مقدار میانگین نیاز آبی روزانه کاهش می یابد. همچنین برای یک دوره خاص با افزایش سطح احتمالاتی، میزان میانگین نیاز آبی روزانه گیاه نیز افزایش پیدا می کند.

**واژه های کلیدی:** تبخیر و تعرق گیاه مرجع، میانگین متحرک، سطح احتمال وقوع، دوره حداقل نیاز آبی، گندم

## مقدمه

محدو دیت منابع آب و رقابت بخش های مختلف در استفاده از این منابع از یک سو و افزایش سطح اراضی فاریاب از سوی دیگر، اهمیت بهره بداری بهینه از این منابع را صد چندان می سازد (شهری فر و همکاران، ۲۰۰۴). کشور ایران با متوسط بارندگی در حدود ۲۵۲ میلی متر جزو کشورهای خشک و نیمه خشک دنیا محسوب می شود. بخش عمدۀ مصرف آب، یعنی بیش از ۹۴ درصد در زمینه کشاورزی می باشد. بنابراین برای این که بتوان در آینده با مشکل کم آبی مبارزه نمود باید آب مورد نیاز بخش کشاورزی با راندمان بالا مصرف گردد (رونگا، ۲۰۰۰). مهم ترین بخش طراحی و بهره بداری از سیستم های تأمین کننده آب مورد نیاز کشاورزی تخمین نیاز آبی گیاه می باشد (یو و همکاران، ۲۰۰۸). تخمین بیش از حد آب مورد نیاز گیاه، ضمن هدر دادن آب آبیاری سبب ماندابی شدن اراضی، شستشوی مواد غذایی خاک و آلوده نمودن منابع آب زیرزمینی می شود. ضمن این که تخمین کمتر نیز باعث اعمال استرس رطوبتی به گیاه شده و در نتیجه کاهش محصول را در بر خواهد داشت (کوچکزاده و بهمنی، ۲۰۰۵). تمام برنامه ریزی های مدیریتی که در رابطه با محصولات مختلف صورت می گیرد، به درک درستی از اقلیم منطقه به خصوص بارندگی، مقدار تبخیر و دمای هوا بستگی

دارد (کار و ورا، ۲۰۰۵). مقادیر تبخیر و تعرق پتانسیل گیاه (ETc)<sup>۱</sup> از حاصل ضرب ضریب گیاهی (Kc)<sup>۲</sup> در تبخیر و تعرق گیاه مرجع (ETo)<sup>۳</sup> به دست می‌آید (آلن و همکاران، ۱۹۹۸). روش‌هایی که برای تخمین تبخیر و تعرق به کار برده می‌شود در دو گروه اصلی قرار می‌گیرد که عبارتند از: روش‌های مستقیم و روش‌های محاسبه‌ای (علیزاده، ۲۰۰۴b). روش‌های محاسبه‌ای مختلفی برای محاسبه تبخیر و تعرق گیاه مرجع پیشنهاد شده که هر یک از نظر داده‌های مورد احتیاج با یکدیگر متفاوت می‌باشند. با توجه به این نکته که طراحی سیستم‌های آبیاری بر اساس میزان تبخیر و تعرق برآورد شده می‌باشد، اگر در این طراحی از میانگین مقادیر تبخیر و تعرق گیاه مرجع ETo برای یک دوره چند ساله داده‌های هواشناسی استفاده شود، احتمال وقوع ETc استفاده شده حدود ۵۰ درصد خواهد بود (علیزاده، ۲۰۰۴b).

انتخاب سطح احتمال مناسب برای نیاز آبی گیاه بستگی به نوع گیاه، نوع خاک، شرایط زمین و نوع سامانه آبیاری دارد. برای گیاهان حساس به تنفس آبی باید علاوه بر انتخاب دور آبیاری کوتاه، سطح احتمال وقوع بالایی را نیز در نظر گرفت. جنسن و همکاران (۱۹۹۰) برای گیاهان با ارزش و یا دارای عمق توسعه ریشه کم، استفاده از سطح احتمالاتی ۸۰ یا ۹۰ درصد را توصیه نموده‌اند. برای خاک‌هایی با بافت سبک که ظرفیت نگهداری رطوبت پایینی دارند نیز باید از دور آبیاری کوتاه با سطح احتمالاتی زیادتر نسبت به خاک‌هایی با بافت متوسط و سنگین استفاده کرد. در یک دوره معین باید از میانگین نیاز آبی روزانه با سطح احتمالاتی بالا استفاده نمود (نیکبخت و میرلطیفی، ۲۰۰۲).

برای سامانه‌های آبیاری که دارای دوره آبیاری کوتاه می‌باشند (مانند سامانه آبیاری قطره‌ای و بارانی)، در یک سطح احتمالاتی معین نمی‌توان از دوره متوسط‌گیری بالایی استفاده کرد. در این حالت سامانه قادر به تأمین نیاز آبی گیاه در طول دوره حداکثر نیاز آبی نبوده و گیاه دچار تنفس آبی خواهد شد. بنابراین قبل از طراحی ظرفیت سامانه آبیاری، ضروری است تا مقادیر ETc روزانه با سطح احتمالاتی متفاوت برای دوره‌های حداکثر نیاز آبی استخراج گردد تا از روی آنها با توجه به عوامل یاد شده مقدار ETc روزانه با سطح احتمالاتی مناسب انتخاب شود (کونیکا، ۱۹۸۹). مقادیر میانگین نیاز آبی روزانه گیاه محاسبه شده به شدت متأثر از طول دوره‌هایی است که برای محاسبه آن استفاده

- 
1. Crop Evapotranspiration (ETc)
  2. Crop Coefficient
  3. Evapotranspiration (ETo)

می‌گردد (نیکبخت و میرلطیفی، ۲۰۰۲). با توجه به دوره‌های مختلف رشد گیاهان لازم است قبل از طراحی سامانه‌های آبیاری مقادیر میانگین نیاز آبی روزانه گیاه برای دوره‌های ۱ الی ۳۰ روزه حداکثر نیاز آبی استخراج شود (نیکبخت و همکاران، ۲۰۰۷). مقادیر میانگین نیاز آبی روزانه گیاه در یک دوره در مقایسه با مقادیر حداکثر مشاهده شده آن در همان دوره در طول تمامی دوره‌های مورد مطالعه کمتر است (کونیکا، ۱۹۸۹؛ جنسن و همکاران، ۱۹۹۰؛ نیکسون و همکاران، ۱۹۷۲؛ پرویت و همکاران، ۱۹۷۲؛ رایت و جنسن، ۱۹۷۲). پرویت و همکاران (۱۹۷۲) برای منطقه کالیفرنیا مرکزی و نیکسون و همکاران (۱۹۷۲) در منطقه ساحلی دره‌های کالیفرنیا با استفاده از داده‌های اعداد تبخیر و تعرق روزانه اندازه‌گیری شده از لایسیمتر وزنی، منحنی‌های توزیع  $ETo$  روزانه با سطوح احتمال وقوع متفاوت را استخراج کردند. آنها به این نتیجه رسیدند که سطح احتمال وقوع تأثیر قابل ملاحظه‌ای بر میزان  $ETo$  روزانه محاسبه شده دارد، به‌طوری‌که با افزایش سطح احتمال وقوع، مقدار  $ETo$  روزانه افزایش پیدا می‌کند. همچنین با استفاده از منحنی‌های توزیع  $ETo$  روزانه با سطح احتمال وقوع متفاوت، دوره‌های ۱، ۳، ۵ تا ۳۰ روزه که بیشترین مقدار نیاز آبی گیاه در هر یک از این دوره‌ها وجود دارد را استخراج کردند. سپس با استفاده از  $ETo$ ‌های ثبت شده از طریق لایسیمتر وزنی برای سال‌های مورد نظر و تاریخ دوره‌های به‌دست آمده در مرحله قبلی، مقادیر میانگین  $ETo$  روزانه را برای دوره‌های ۱ الی ۳۰ روزه حداکثر نیاز آبی محاسبه نموده و با استفاده از ارقام به‌دست آمده، منحنی‌های توزیع میانگین روزانه برای دوره‌های ۱ تا ۳۰ روزه حداکثر نیاز آبی را ترسیم کردند. رایت و جنسن (۱۹۷۲) روزانه را در منطقه کیمبرلی واقع در جنوب ایالت آیدaho آمریکا با استفاده از معادله پنمن براساس داده‌های هواشناسی سال‌های ۱۹۶۵ تا ۱۹۶۹ برآورد نموده و سپس منحنی‌های توزیع  $ETo$  روزانه با سطوح احتمال متفاوت را استخراج نمودند و در نهایت تاریخ زمان حداکثر تبخیر و تعرق مرجع با طول دوره‌های مختلف مانند ۱، ۳، ۵ تا ۳۰ روزه را برای منطقه ساحلی کالیفرنیا و کیمبرلی استخراج نمودند. در این منطقه به‌دلیل تغییرات آب و هوایی در طول سال و همچنین تغییرات تبخیر و تعرق محاسبه شده با استفاده از داده‌های هواشناسی، منحنی‌های توزیع میانگین  $ETo$  روزانه برای دوره‌های ۱ تا ۳۰ روزه حداکثر نیاز آبی با سطوح احتمال وقوع متفاوت کاملاً متقاضان نبودند. در ایران نیکبخت و میرلطیفی (۲۰۰۲) در پژوهشی برای منطقه مهرآباد تهران، مقادیر میانگین  $ETo$  روزانه با سطح احتمال وقوع متفاوت، برای دوره‌های حداکثر نیاز آبی را محاسبه و با استفاده از ارقام به‌دست آمده از منحنی‌های توزیع میانگین  $ETo$  روزانه برای دوره‌های ۱ تا ۳۰ روزه حداکثر نیاز آبی

را رسم نمودند (مقادیر  $ETo$  از روش‌های پنمن مانتیث، هارگریوز-سامانی و پنمن-رایت محاسبه شدند). با توجه به این تحقیق، در منطقه باد شده منحنی‌های توزیع میانگین  $ETo$  روزانه برای دوره‌های ۱ تا ۳۰ روزه حداقل نیاز آبی با سطوح احتمال وقوع متفاوت، کاملاً متقابن به دست آمد. نیکبخت و همکاران (۲۰۰۷) در پژوهشی مقادیر تبخیر و تعرق واقعی گیاه را در سطوح احتمالاتی مختلف در مراغه محاسبه نمودند. نتایج آن‌ها به خوبی نشان‌دهنده تأثیر دوره میانگین‌گیری و سطح احتمالاتی بر مقدار میانگین  $ETc$  روزانه است. همچنین مقادیر میانگین  $ETc$  روزانه با سطح احتمال وقوع‌های متفاوت اختلاف قابل ملاحظه‌ای با هم دارند. شریفان (۲۰۰۷) در منطقه هاشم‌آباد گرگان نیز با محاسبه مقادیر میانگین نیاز آبی روزانه برای ۵ محصول شاخص منطقه به نتایج مشابهی رسید. این حالت به علت طولانی بودن دوره آماری استفاده شده می‌باشد. با توجه به تأثیر احتمال وقوع و طول دوره حداقل تبخیر و تعرق گیاه مرجع بر مقدار میانگین  $ETo$  روزانه، در طراحی سیستم‌های آبیاری باید طول دوره حداقل تبخیر و تعرق مرجع را متناسب با دوره آبیاری انتخاب نمود. بنابراین با توجه به تأثیر روش محاسبه تبخیر و تعرق، دور آبیاری و سطح احتمال وقوع بر نیاز آبی گیاه، محاسبه دقیق تأثیر عوامل بالا به عنوان یک موضوع تحقیقی، ضروری به نظر می‌رسد. به همین منظور در پژوهش حاضر تبخیر و تعرق مرجع روزانه برای یک دوره ۳۰ ساله برآورد گردید و منحنی‌های توزیع میانگین نیاز آبی روزانه گیاه در سطوح احتمال وقوع متفاوت ارائه شد. برای برآورد  $ETo$  از ۵ روش مختلف استفاده گردید تا تأثیر مؤلفه‌های هواشناسی و روش محاسبه  $ETo$  در تشخیص سطوح احتمال مناسب نیز ارزیابی گردد.

برتری این پژوهش نسبت به بررسی‌های صورت گرفته پیشین در این است که علاوه بر کاربرد روش‌های متعدد و استفاده از نرم‌افزار REF-ET در برآورد مقادیر  $ETo$  روزانه، مقادیر  $ETc$  نیز در تجزیه و تحلیل‌ها دخالت داده می‌شود تا هرچه بیشتر در برنامه‌ریزی‌های مدیریتی در حوزه کشاورزی مفید واقع شود. همچنین بررسی‌های مشابه در ایستگاه همدان صورت نگرفته است.

## مواد و روش‌ها

معمولی‌ترین توزیعی که متغیرهای تصادفی با آن مطابقت دارند، توزیع نرمال می‌باشد (به نقل از نیکبخت و میرلطیفی، ۲۰۰۲). از آنجا که داده‌های هواشناسی از نظر آماری کاملاً تصادفی می‌باشند، بنابراین شکل منحنی فراوانی داده‌های هواشناسی در درازمدت برای میانگین‌های دوره‌ای (۱، ۳، ۵، ۷،

۱۰، ۲۰ و ۳۰ روزه) از توزیع نرمال پیروی می‌کند (کوئیکا، ۱۹۸۹). از آنجایی که اساس تغیری‌های آماری، برای تحلیل دقیق چنین متغیرهایی دست کم نیاز به ۳۰ مقدار از ۱ متغیر دارد (دیور و پیک، ۱۹۸۶). بنابراین در این بررسی نیاز به حداقل ۳۰ سال آمار هواشناسی می‌باشد. در این پژوهش از آمار و اطلاعات هواشناسی ایستگاه سینوپتیک نوژه همدان (طول جغرافیایی ۴۸ درجه و ۴۳ دقیقه شرقی و عرض جغرافیایی ۳۵ درجه و ۱۲ دقیقه شمالی و ارتفاع ۱۶۷۹/۷ متری از سطح دریا) با ۸ قرائت روزانه در دوره درازمدت ۳۰ ساله (۱۹۷۷-۲۰۰۶) استفاده شد. دمای حداقل و حداکثر، رطوبت نسبی ماکزیمم و می‌نیمم، بارندگی، نقطه شبنم و سرعت باد، فشار هوا و فشار بخار هوا پارامترهای هواشناسی بودند که در محاسبه  $ETo$  روزانه در این پژوهش از آن استفاده گردید؛ اقلیم منطقه به روش یونسکو<sup>۱</sup>، سرد و نیمه‌خشک تشخیص داده شد. سپس مقادیر  $ETo$  روزانه با استفاده از داده‌های هواشناسی بهمنظور استخراج منحنی‌های توزیع  $ETo$  روزانه با سطوح احتمال وقوع متفاوت با استفاده از نرم‌افزار REF-ET (آلن و همکاران، ۱۹۹۸) محاسبه گردید. روش‌های پنمن (۱۹۶۳)، پنمن-فائز (دورنباس و پرویت، ۱۹۷۵؛ دورنباس و پرویت، ۱۹۷۷)، پنمن-مانیث (مانیث، ۱۹۶۵) و بلانی-کریدل (بلانی و کریدل، ۱۹۵۰) به عنوان روش‌های منتخب در منطقه همدان (ناصری و همکاران، ۱۹۹۹؛ زارع‌اییانه و همکاران، ۲۰۰۷) و همچنین روش فائز-پنمن-مانیث به عنوان روش پیشنهادی فائز (روش مرجع) (آلن و همکاران، ۱۹۹۸)، به منظور مقایسه در این پژوهش مورد استفاده قرار گرفت. معادله‌های روش‌های مختلف محاسبه  $ETo$  و همچنین پارامترهای به کار رفته در این معادله‌ها در ادامه ارائه شده است.

معادله پنمن (۱۹۶۳):

$$ETo = \frac{\Delta R_n + \gamma(e_s - e_a)(2.6(1+0.536U_2))}{\lambda\rho(\Delta+\gamma)} \quad (1)$$

معادله پنمن-فائز:

$$ETo = -0.3 + \frac{\Delta}{\Delta+\gamma} \frac{R_g}{\lambda\rho} (1-\alpha)(2.6(1+0.536U_2)) \quad (2)$$

معادله پنمن-مانیث:

$$ETo = \frac{\Delta R_n + \gamma(e_s - e_a)w}{\lambda\rho(\Delta+\gamma(1+\frac{r_s}{r_a}))} \quad w = (1500/r_a) \quad r_a = (208/U_2) \quad (3)$$

معادله فائو-پنمن - مانتیث:

$$ET_0 = \frac{0.408\Delta(R_n - G) + \gamma \frac{900}{T_a + 273} U_2(e_s - e_a)}{\Delta + \gamma(1 + 0.34U_2)} \quad (4)$$

معادله بلانی و کریدل:

$$ET_0 = P(0.46T_a + 8.13) \quad (5)$$

در کلیه رابطه‌های بالا،  $ET_0$  تبخیر و تعرق گیاه مرجع ( $\text{mm day}^{-1}$ )،  $T_a$  دمای هوا ( $^{\circ}\text{C}$ )،  $U_2$  سرعت باد در ارتفاع ۲ متری ( $\text{m s}^{-1}$ )،  $R_n$  تابش خالص خورشیدی ( $\text{MJ m}^{-2} \text{day}^{-1}$ )،  $(e_s - e_a)$  شتاب سایکرومتری ( $\text{kJPa}$ )،  $G$  شار حرارتی خاک ( $\text{MJ m}^{-2} \text{day}^{-1}$ )،  $\Delta$  شیب منحنی فشار بخار اشباع با دما ( $\text{C}^{\circ-1}$ )،  $\gamma$  ثابت سایکرومتری ( $\text{kJPa C}^{\circ-1}$ )،  $\rho$  چگالی آب ( $\text{kg L}^{-1}$ )،  $1000 \text{ kg m}^{-2} \text{ day}^{-1}$  گرمای نهان تبخیر آب ( $\text{MJ kg}^{-1}$ )،  $Rg$  تابش طول موج کوتاه ( $\text{MJ m}^{-2} \text{day}^{-1}$ )،  $\alpha$  آلیدیوی سطحی،  $r_s$  مقاومت سطحی گیاه مرجع ( $\text{s m}^{-1}$ )،  $r_a$  مقاومت آثروودینامیکی ( $\text{s m}^{-1}$ ) و  $P$  می‌باشد (آلن و همکاران، ۱۹۹۸).

همچنین مقادیر  $ETc$  در طول دوره رشد با ضرب ضریب گیاهی گندم منطقه مورد مطالعه در مقادیر تبخیر و تعرق گیاه مرجع به دست آمد. سپس داده‌های میانگین نیاز آبی روزانه مربوط به هر روز ژولینوسی<sup>۱</sup> برای ۳۰ سال دوره آماری مورد استفاده در این پژوهش از بقیه روزها تفکیک گردید. در این حالت برای هر روز ژولینوسی ۳۰ عدد وجود خواهد داشت (نیکبخت و میرلطیفی، ۲۰۰۲). در مرحله بعد با استفاده از توزیعی که متغیرهای پیوسته با آن مطابقت دارند (توزیع نرمال<sup>۲</sup>) مقادیر احتمالاتی مختلف  $ET_0$  محاسبه گردید (رضایی، ۲۰۰۰). برای محاسبه مقدار متغیر تصادفی با احتمال وقوع مورد نظر از رابطه ۶ استفاده شد.

$$X = \bar{X} + K.S \quad (6)$$

که در آن  $X$  مقدار متغیر تصادفی با احتمال وقوع مورد نظر،  $\bar{X}$  میانگین نمونه،  $S$  انحراف معیار نمونه و  $K$  ضریب فراوانی می‌باشد. مقدار  $K$  به احتمال وقوع متغیر بستگی دارد و در جدول‌های آماری مربوط به توزیع نرمال موجود می‌باشد (علیزاده، ۲۰۰۴a). برای هر روز ژولینوسی مقادیر  $\bar{X}$ ،  $S$  و نیاز

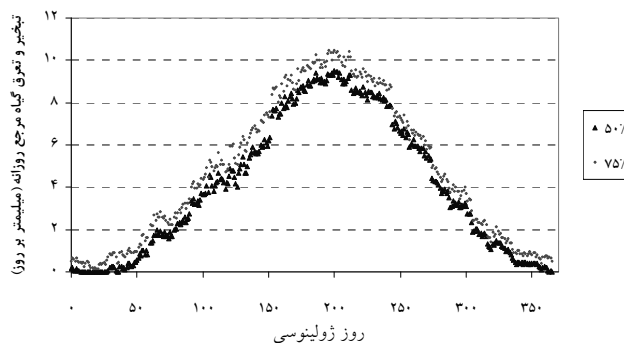
- 
1. Julian Date
  2. Normal Distribution

آبی محاسبه شد. با استفاده از رابطه ۶، مقادیر  $ETo$  برای کلیه روزهای سال در سطح احتمال وقوع ۱، ۵، ۲۵، ۵۰، ۷۵، ۹۰، ۹۵ و ۹۹ درصد برآورد گردید. با استفاده از ارقام بهدست آمده، نمودار مقادیر میانگین نیاز آبی روزانه گیاه با سطح احتمال وقوع های متفاوت در مقابل روز از سال رسم شد. جهت بررسی تأثیر طول دوره بر میانگین نیاز آبی روزانه گیاه، لازم است ابتدا تاریخ وقوع دوره حداقل تبخیر و تعرق مرجع برای دوره های مختلف (۱، ۳ تا ۳۰ روزه) تعیین گردد. برای تعیین تاریخ وقوع هر یک از دوره های حداقل تبخیر و تعرق مرجع با طول دوره های مختلف، از مقادیر میانگین نیاز آبی روزانه گیاه با سطح احتمال وقوع ۹۹ درصد که روش تعیین آن قبلاً یاد گردید، استفاده شد و مقادیر میانگین های متحرک<sup>۱</sup> از میانگین نیاز آبی روزانه گیاه برای دوره های مختلف حداقل نیاز آبی (۱، ۳ تا ۳۰ روزه) با استفاده از این مقدار (سطح احتمال ۹۹ درصد) برای ۳۶۵ روز سال محاسبه شد. مقادیر میانگین های متحرک محاسبه شده برای دوره های بالا به ترتیب نزولی مرتب، و با توجه به مقدار ماکریم میانگین متحرک برای هر یک از طول دوره ها روز شروع و خاتمه دوره حداقل تبخیر و تعرق مرجع برای هر یک از طول دوره میانگین گیری مشخص گردید. سپس مقدار میانگین نیاز آبی روزانه گیاه برای هر یک از دوره های حداقل تبخیر و تعرق با طول دوره های مختلف که روز شروع و خاتمه آن در مرحله قبل مشخص شده بود، برای هر سال از ۳۰ سال آمار مورد استفاده محاسبه شد. بنابراین برای هر یک از دوره های حداقل تبخیر و تعرق مرجع با طول دوره های مختلف، ۳۰ مقدار میانگین نیاز آبی روزانه گیاه که هر یک از آن ها متعلق به یک سال بود به دست آمد. با استفاده از رابطه ۱ مقادیر میانگین نیاز آبی روزانه گیاه با سطح احتمال وقوع ۱، ۵، ۲۵، ۵۰، ۷۵، ۹۰، ۹۵ و ۹۹ درصد برای هر یک از دوره های زمانی با طول متفاوت حداقل تبخیر و تعرق مرجع محاسبه گردید. سپس با استفاده از ارقام به دست آمده، نمودار مقادیر میانگین نیاز آبی روزانه گیاه با سطح احتمال وقوع های متفاوت در مقابل روز از سال رسم شد.

## نتایج و بحث

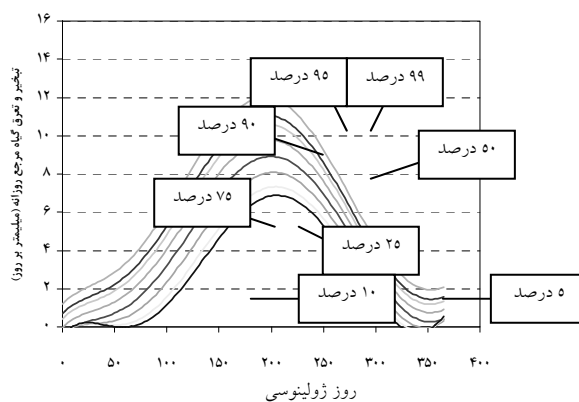
شکل ۱ نمودار  $ETo$  حاصل برای روش بلانی - کریدل را در دو سطح احتمال وقوع ۵۰ و ۷۵ درصد (به عنوان نمونه) نشان می دهد. نمودارهای مشابه شکل ۱ برای ۵ روش دیگر نیز استخراج گردید.

### 1. Moving Average



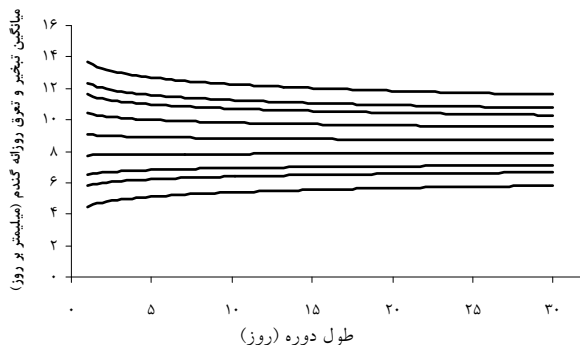
شکل ۱- منحنی توزیع  $ET_0$  روزانه در سطح احتمال‌های ۵۰ و ۷۵ درصد با کاربرد روش بلانی و کریدل.

شکل ۲ نمودار مقادیر  $ET_0$  روزانه با سطح احتمال وقوع‌های متفاوت در مقابل روز از سال شکل ۱ را که بر آن‌ها بهترین منحنی (چند جمله‌ای با درجه ۶) برازش داده شده است، نشان می‌دهد.



شکل ۲- منحنی‌های توزیع  $ET_0$  (روش بلانی-کریدل) روزانه با سطوح احتمال مختلف پس از برازش بهترین منحنی بر آن‌ها.

نمودار میانگین  $ET_c$  روزانه برای دوره‌های ۱ تا ۳۰ روزه حداکثر تبخیر و تعرق مرجع با سطح احتمال وقوع متفاوت براساس روش بلانی کریدل در شکل ۳ مشاهده می‌شود. نمودارهای مشابه شکل ۳ برای مقادیر  $ET_0$  و سایر روش‌ها نیز استخراج گردید (نیکبخت و میرلطینی، ۲۰۰۲).



شکل ۳- میانگین  $ET_c$  (گیاه گندم) روزانه (روش بلانی و کریدل) با سطوح احتمال وقوع مختلف (برازش با تابع توزیع احتمال نرمال) برای دوره‌های حداکثر نیاز آبی برای منطقه همدان.

مقادیر میانگین  $ET_0$  روزانه با سطوح احتمال وقوع متفاوت برای دوره‌های حداکثر نیاز آبی با طول دوره ۷ روزه برای روش‌های مختلف در جدول ۱ نشان داده شده و مقادیر این جدول از طریق نمودارهای استخراج شده برای روش‌های یاد شده به دست آمده است. با توجه به این جدول مقادیر  $ET_0$  روزانه بهشدت از سطح احتمال وقوع تأثیر می‌پذیرد به طوری که با افزایش سطح احتمال وقوع بر مقدار تبخیر و تعرق افزوده می‌شود (مطابق با نتایج تحقیقات پرویت و همکاران، ۱۹۷۲؛ رایت و جنسن، ۱۹۷۲؛ نیکسون و همکاران، ۱۹۷۲؛ نیکبخت و میرلطیفی، ۲۰۰۲؛ نیکبخت و همکاران، ۲۰۰۷؛ شریفان، ۲۰۰۷). همچنین مقادیر میانگین  $ET_0$  روزانه (محاسبه شده با روش بلانی-کریدل) با سطوح احتمال وقوع متفاوت برای دوره‌های حداکثر نیاز آبی ایستگاه همدان در جدول ۲ ارائه شده است.

به منظور مشخص نمودن میزان تفاوت در مقادیر میانگین نیاز آبی روزانه گیاه در سطوح احتمال مختلف، جدول‌های ۳ و ۴ براساس نتایج جدول ۱ استخراج شد. کمترین و بیشترین مقادیر اختلاف تبخیر و تعرق بین سطوح احتمالاتی مختلف برای مقادیر  $ET_0$  به ترتیب در روش پمن (۱۹۶۳) و فائو-پمن-مانتیث برای مقادیر  $ET_c$  در روش‌های پمن (۱۹۶۳) و فائو-پمن-مانتیث مشاهده شد و روش فائو-پمن-مانتیث در اکثر سطوح احتمال بیشترین برآورد میزان اختلاف را داشت.

## مجید حیدری و همکاران

جدول ۱- مقدادیر  $ETo$  روزانه با سطوح احتمال وقوع متفاوت در زمان حداقل تبخیر و تعرق مرجع (طول دوره ۷ روز).

مقدار $ETo$ روزانه (mm/day)					
روش محاسبه $ETo$					احتمال وقوع (درصد)
P-M	P-F 24	P(1963)	F-P-M	B-C	
۷/۳	۸/۱	۷/۵	۷/۹	۸/۳	۲۵
۸/۰	۸/۷	۸/۲	۸/۷	۹/۳	۵۰
۸/۷	۹/۴	۸/۶	۹/۵	۱۰/۳	۷۵
۹/۴	۱۰/۰	۹/۱	۱۰/۳	۱۱/۲	۹۰
۹/۷	۱۰/۴	۹/۴	۱۱/۷	۱۱/۷	۹۵
۱۰/۵	۱۱/۱	۹/۹	۱۱/۶	۱۲/۷	۹۹

در جدول ۱ منظور از B-C: روش بلانی کریدل، F-P-M: روش فائقو- پنمن- مانیث، P: روش پنمن ۱۹۶۳، P-F: روش پنمن- فائقو ۲۴ و P-M: روش پنمن- مانیث می‌باشد.

جدول ۲- مقدادیر میانگین  $ETo$  روزانه (روش بلانی- کریدل) با سطوح احتمال وقوع متفاوت برای دوره‌های حداقل نیاز آبی.

احتمال (درصد)										طول دوره (روز)
۹۹	۹۵	۹۰	۷۵	۵۰	۲۵	۱۰	۵	۱		
۱۲/۷	۱۱/۷	۱۱/۲	۱۰/۳	۹/۳	۸/۳	۷/۵	۶/۹	۶/۰	۳	
۱۲/۱	۱۱/۳	۱۰/۹	۱۰/۲	۹/۴	۸/۶	۷/۸	۷/۴	۷/۶	۵	
۱۱/۹	۱۱/۲	۱۰/۸	۱۰/۱	۹/۴	۸/۶	۸/۰	۷/۶	۷/۸	۷	
۱۱/۸	۱۱/۱	۱۰/۷	۱۰/۰	۹/۳	۸/۶	۸/۰	۷/۶	۷/۸	۱۰	
۱۱/۶۰	۱۰/۹	۱۰/۵	۹/۹	۹/۲	۸/۶	۷/۹	۷/۶	۷/۹	۱۵	
۱۱/۵	۱۰/۸	۱۰/۵	۹/۹	۹/۲	۸/۶	۸/۰	۷/۶	۷/۹	۲۰	
۱۱/۳	۱۰/۷	۱۰/۳	۹/۸	۹/۲	۸/۶	۸/۰	۷/۷	۷/۱	۲۵	
۱۱/۱	۱۰/۶	۱۰/۳	۹/۷	۹/۲	۸/۶	۸/۱	۷/۸	۷/۲	۳۰	

**مجله حفاظت آب و خاک جلد (۱۶)، شماره (۳) ۱۳۸۸**

**جدول ۳- اختلاف مقادیر ETo روزانه با سطوح احتمال وقوع متفاوت در زمان حداقل تبخیر و تعرق (طول دوره ۷ روزه).**

اختلاف ETo (درصد)										احتمال وقوع (درصد)	
روش محاسبه ETo					اختلاف ETo (mm/day)						
P-M	P-F 24	P(1963)	F-P-M	B-C	P-M	P-F 24	P(1963)	F-P-M	B-C		
۱۲	۱۰	۹	۱۳	۱۱	۱/۰	۱/۰	۰/۸	۱/۲	۱/۱	۷۵ و ۹۵	
۳۲	۱۹	۱۶	۲۳	۱۹	۱/۷	۱/۷	۱/۳	۲/۰	۱/۸	۵۰ و ۹۵	
۱۷	۱۵	۱۳	۱۸	۱۵	۱/۳	۱/۳	۱/۰	۱/۶	۱/۴	۵۰ و ۹۰	
۹	۸	۷	۱۰	۸	۰/۷	۰/۷	۰/۵	۰/۸	۰/۷	۵۰ و ۷۵	
۷	۷	۵	۸	۷	۰/۶	۰/۶	۰/۵	۰/۸	۰/۷	۷۵ و ۹۰	

در جدول ۳ منظور از B-C: روش بلانی کریدل، F-P-M: روش فائو-پنمن- مانیث، P(1963): روش پنمن ۱۹۶۳، P-F 24: روش پنمن- فائو و M-P: روش پنمن- مانیث می باشد.

**جدول ۴- اختلاف مقادیر مقادیر ETc (گیاه گندم) روزانه با سطوح احتمال وقوع متفاوت در زمان حداقل تبخیر و تعرق (طول دوره ۷ روزه).**

اختلاف ETc (درصد)										احتمال وقوع (درصد)	
روش محاسبه ETc					اختلاف ETc (mm/day)						
P-M	P-F 24	P(1963)	F-P-M	B-C	P-M	P-F 24	P(1963)	F-P-M	B-C		
۱۸	۱۷	۲۲	۱۳	۱۵	۱/۵	۱/۷	۱/۸	۱/۲	۱/۵	۷۵ و ۹۵	
۳۶	۳۳	۴۵	۲۳	۲۹	۲/۵	۲/۸	۳/۱	۱/۹	۲/۵	۵۰ و ۹۵	
۲۸	۲۶	۳۵	۱۸	۲۲	۲	۲/۲	۲/۴	۱/۵	۱/۹	۵۰ و ۹۰	
۱۵	۱۴	۱۸	۱۰	۱۲	۱	۱/۲	۱/۳	۰/۸	۱	۵۰ و ۷۵	
۱۱	۱۱	۱۴	۸	۹	۰/۹	۱	۱/۲	۰/۷	۰/۹	۷۵ و ۹۰	

در جدول ۴ منظور از B-C: روش بلانی و کریدل، F-P-M: روش فائو-پنمن- مانیث، P(1963): روش پنمن ۱۹۶۳، P-F 24: روش پنمن- فائو و M-P: روش پنمن- مانیث می باشد.

مقادیر اختلاف میانگین نیاز آبی گیاه در سطوح احتمال وقوع های مختلف برای یک روش خاص به خوبی نمایان گر تفاوت ظرفیت سیستم جهت تأمین آب می باشد. برای مثال در صورتی که طراحی سیستم آبیاری بر اساس میانگین ETo با روش بلانی- کریدل و فائو- پنمن- مانیث

صورت پذیرد (احتمال وقوع ۵۰ درصد)، ظرفیت سیستم جهت تأمین آب به ترتیب حدود ۸ و ۱۲ درصد کمتر از حالتی خواهد بود که احتمال وقوع ۷۵ درصد اعمال شده است که این مقدار برای مقادیر  $ETc$  به ۱۲ و ۱۰ درصد افزایش می‌یابد. همچنین در صورتی که از روش پنمن- مانیست استفاده شود این اختلاف برای مقادیر  $ETo$  برابر ۹ درصد خواهد بود. در حالی که طبق بررسی‌های نیکبخت و میرلطیفی (۲۰۰۲) در منطقه مهرآباد تهران این مقدار برابر ۱۱ درصد به دست آمد. از طرفی مقدار میانگین  $ETc$  روزانه گندم در سطح احتمال ۷۵ درصد (طول دوره ۱۰ روزه) در منطقه مورد مطالعه ۹ میلی‌متر بر روز بوده که این مقدار طبق بررسی‌های نیکبخت و همکاران (۲۰۰۷) در منطقه مراغه حدود ۳ میلی‌متر بر روز کمتر است. بنابراین اقلیم منطقه و در نتیجه روش محاسبه  $ETo$  (به جهت تأثیر متفاوت مؤلفه‌های هواشناسی) و تفاوت مقدار  $ETo$  در سطوح مختلف احتمال تأثیر می‌گذارد. با توجه با این نکته که شرایط اقلیمی هر منطقه بر روی برآورد صحیح تبخیر و تعرق تأثیر دارد و به کارگیری این پارامتر ( $ETo$ ) در طراحی‌های مهندسی می‌تواند از بروز تنفس آبی در گیاه تحت آبیاری یا از تلف شدن آب توسط سیستم آبیاری جلوگیری به عمل آورد و از سوی دیگر می‌توان از نتایج این پژوهش برای سایر نقاط استان همدان که دارای شرایط اقلیمی مشابهی هستند استفاده نمود. با توجه به این نکته که طراحی سیستم‌های آبیاری براساس تبخیر و تعرق مرجع گیاه در زمان حداکثر تبخیر و تعرق مرجع صورت می‌پذیرد، اقدام به استخراج تاریخ شروع و خاتمه زمان حداکثر تبخیر و تعرق با طول دوره‌های مختلف نمودیم. تاریخ‌های وقوع دوره‌های حداکثر تبخیر و تعرق مرجع با طول دوره‌های مختلف در جدول ۵ نشان داده شده است. نکته مهم این است که با توجه به تاریخ‌های نوشته شده در این جدول در هیچ‌یک از دوره‌های حداکثر نیاز آبی، کلیه روزهای دوره به‌طور الزامی در محدوده یک ماه خاص نبوده و امکان دارد برخی از روزهای آن در یک ماه و بقیه روزهای آن در ماه دیگر رخ دهد (نیکبخت و همکاران، ۲۰۰۷).

مجله حفاظت آب و خاک جلد (۱۶)، شماره (۳) ۱۳۸۸

جدول ۵- تاریخ‌های وقوع دوره‌های حداکثر ETo (روش مورد مطالعه) با طول دوره‌های مختلف در ایستگاه همدان.

روز شروع دوره (روز / ماه)										طول دوره (روز)	
روش محاسبه ETo					روش محاسبه ETo						
P-M	P-F 24	P(1963)	F-P-M	B-C	P-M	P-F 24	P(1963)	F-P-M	B-C		
۳۰	۱۲	۱۹	۱۰	۱۵	۳۰	۱۲	۱۹	۱۰	۱۵	۱	
ژوئیه	ژوئن	ژوئیه	اوت	ژوئیه	ژوئیه	ژوئن	ژوئیه	اوت	ژوئیه		
۱۶	۱۶	۲۰	۱	۱۶	۱۴	۱۴	۱۸	۳۰	۱۴	۳	
ژوئیه	ژوئیه	ژوئیه	اوت	ژوئیه	ژوئیه	ژوئیه	ژوئیه	ژوئیه	ژوئیه		
۱۸	۱۹	۲۲		۱۹	۱۴	۱۵	۱۸	۷	۱۵	۵	
ژوئیه	ژوئیه	ژوئیه	اوت	ژوئیه	ژوئیه	ژوئیه	ژوئیه	اوت	ژوئیه		
۲۰	۱۹	۲۰	۱۹	۲۰	۱۴	۱۳	۱۴	۱۳	۱۴	۷	
ژوئیه	ژوئیه	ژوئیه	ژوئیه	ژوئیه	ژوئیه	ژوئیه	ژوئیه	ژوئیه	ژوئیه		
۲۲	۲۲	۲۲	۲۲	۲۲	۱۳	۱۳	۱۳	۱۳	۱۳	۱۰	
ژوئیه	ژوئیه	ژوئیه	ژوئیه	ژوئیه	ژوئیه	ژوئیه	ژوئیه	ژوئیه	ژوئیه		
۲۳	۲۳	۲۳	۲۳	۲۸	۹	۹	۹	۹	۱۴	۱۵	
ژوئیه	ژوئیه	ژوئیه	ژوئیه	ژوئیه	ژوئیه	ژوئیه	ژوئیه	ژوئیه	ژوئیه		
۳۱	۳۰	۳۱	۱	۳۱	۱۲	۳۰	۱۲	۱۳	۱۲	۲۰	
ژوئیه	ژوئیه	ژوئیه	اوت	ژوئیه	ژوئیه	ژوئن	ژوئیه	ژوئیه	ژوئیه		
۲	۲۳	۳۱	۳	۳۱	۹	۲۹	۷	۱۰	۷	۲۵	
اوت	ژوئیه	ژوئیه	اوت	ژوئیه	ژوئیه	ژوئن	ژوئیه	ژوئیه	ژوئیه		
۱	۲۸	۳۱		۳۱	۳	۱	۲	۱۲	۲	۳۰	
ژوئیه	ژوئیه	اوت	ژوئیه	ژوئیه	ژوئیه	ژوئیه	ژوئیه	ژوئیه	ژوئیه		

در جدول ۵ منظور از B-C: روش بلانی کریدل، F-P-M: روش فائو-پنمن-مانیتیت، P(1963): روش پنمن ۱۹۶۳، P: روش پنمن-فائو ۲۴ و P-M: روش پنمن-مانیتیت می‌باشد.

تجزیه و تحلیل مقادیر میانگین ETo روزانه با سطوح احتمالاتی مختلف برای دوره‌های حداکثر نیاز آبی دوره‌های ۵ و ۱۰ روزه حداکثر نیاز آبی برای نشان دادن روند تغییرات ETo روزانه با احتمالات مختلف در ۵ روش مورد مطالعه انتخاب شده است. مطابق جدول ۶، برای سطوح احتمالاتی بیشتر از ۵۰ درصد با افزایش دوره آبیاری مقدار میانگین ETo روزانه کاهش می‌یابد و این بهدلیل

استفاده از متوسطگیری حسابی می‌باشد. مطابق این جدول برای یک دوره آبیاری خاص با افزایش احتمال، میزان  $ETo$  روزانه افزایش می‌بادد. تجزیه و تحلیل مقادیر تبخیر و تعرق گیاه گندم (جدول ۷) نیز نتایج بالا را تأیید می‌نماید.

جدول ۶- مقادیر میانگین  $ETo$  روزانه با سطوح احتمال وقوع متفاوت برای دوره‌های ۵ و ۱۰ روزه.

سطح احتمال وقوع (درصد)										طول دوره (۵ روزه)	طول دوره (۱۰ روزه)	روش محاسبه $ETo$	
روش محاسبه $ETo$												روش محاسبه $ETo$	روش محاسبه $ETo$
P-M	P-F 24	P(1963)	F-P-M	B-C	P-M	P-F 24	P(1963)	F-P-M	B-C	P-M	P-F 24	P(1963)	F-P-M
۸/۰	۸/۸	۸/۱	۸/۷	۹/۳	۷/۹	۸/۸	۸/۱	۸/۲	۹/۴	۵۰	۸/۷	۹/۴	۸/۶
۸/۷	۹/۴	۸/۶	۹/۵	۱۰/۰	۸/۷	۹/۵	۸/۸	۹/۲	۱۰/۲	۷۵	۹/۳	۹/۹	۹/۰
۹/۳	۹/۹	۹/۰	۱۰/۲	۱۰/۷	۹/۴	۱۰/۲	۹/۳	۱۰/۲	۱۰/۹	۹۰	۹/۷	۱۰/۳	۹/۳
۹/۷	۱۰/۳	۹/۳	۱۰/۶	۱۱/۱	۹/۹	۱۰/۶	۹/۷	۱۰/۷	۱۱/۳	۹۵	۱۰/۴	۱۰/۹	۹/۸
۱۰/۴	۱۰/۹	۹/۸	۱۱/۴	۱۱/۸	۱۰/۷	۱۱/۳	۱۰/۳	۱۱/۸	۱۲/۱	۹۹	۱۱/۴	۱۱/۹	۱۱/۳

جدول ۷- مقادیر میانگین  $ETc$  (گیاه گندم) روزانه با سطوح احتمال وقوع متفاوت برای دوره‌های ۷ و ۱۰ روزه.

سطح احتمال وقوع (درصد)										طول دوره (۷ روزه)	طول دوره (۱۰ روزه)	روش محاسبه $ETc$	
روش محاسبه $ETc$												روش محاسبه $ETc$	روش محاسبه $ETc$
P-M	P-F 24	P(1963)	F-P-M	B-C	P-M	P-F 24	P(1963)	F-P-M	B-C	P-M	P-F 24	P(1963)	F-P-M
۷/۱	۸/۵	۷/۲	۸/۴	۹/۲	۸	۷/۹	۷	۸/۴	۸/۶	۵۰	۸/۲	۹/۷	۹/۷
۸/۲	۹/۷	۸/۳	۹/۲	۱۰/۱	۸/۹	۹/۵	۸/۲	۹/۲	۹/۷	۷۵	۹/۱	۱۰/۷	۹/۳
۹/۱	۱۰/۷	۹/۳	۹/۸	۱۰/۹	۹/۷	۱۱	۹/۴	۹/۹	۱۰/۶	۹۰	۹/۶	۱۱/۴	۹/۹
۹/۶	۱۱/۴	۹/۹	۱۰/۲	۱۱/۳	۱۰/۱	۱۱/۸	۱۰/۱	۱۰/۳	۱۱/۱	۹۵	۱۰/۷	۱۲/۵	۱۱
۱۰/۷	۱۲/۵	۱۱	۱۰/۹	۱۲/۲	۱۱	۱۳/۴	۱۱/۱۴	۱۱/۱	۱۲/۱	۹۹	۱۱/۱	۱۲/۱	۱۱/۱

### نتیجه‌گیری

در این پژوهش تعدد روش‌های محاسباتی  $ETo$ ، امکان مقایسه نتایج را در هر یک از روش‌ها فراهم می‌آورد. همچنین مقادیر نیاز آبی گیاه در سطوح احتمال مختلف به زارع امکان انتخاب گزینه مناسب با دور آبیاری مورد نظر، با توجه به ریسک پذیرفته شده را می‌دهد. طبیعی است که با افزایش سطح احتمال

دامنه ریسک کاهش و آب مورد نیاز جهت آبیاری افزایش می‌یابد. همچنین نتایج به دست آمده از منحنی‌های استخراج شده نشان داد در صورتی که طراحی سیستم آبیاری بر اساس میانگین  $ET_c$  گندم (طول دوره ۷ روزه) در احتمال وقوع ۵۰ درصد با روش بلانی- کریدل، فائو- پنم- مانیث، پنم- (۱۹۶۳)، پنم- فائو- ۲۴ و پنم- مانیث صورت پذیرد ظرفیت سیستم جهت تأمین آب به ترتیب برای روش‌های مختلف حدود ۱۲، ۱۰، ۱۸، ۱۴ و ۱۵ درصد کمتر از حالتی خواهد بود که احتمال وقوع ۷۵ درصد اعمال شده است. با توجه به متفاوت بودن نتایج چنین تحقیقاتی در اقلیم‌ها و گیاهان مختلف، انجام چنین بررسی‌هایی در مناطق مختلف کشور و همچنین بر روی گیاهان مختلف توصیه می‌شود.

#### منابع

1. Alizadeh, A. 2004a. Irrigation Systems Design. 5<sup>th</sup> Edition (revised). Astan Ghods Razavi. Press, 583p. (In Persian)
2. Alizadeh, A. 2004b. Applied Hydrology. 16<sup>th</sup> Edition (revised). Astan Ghods Razavi. Press, (In Persian)
3. Allen, R.G., Pereira, L.S., Raes, L., and Smith, M. 1998. Guidelines for computing crop water requirements. Irrigation and Drainage Paper No. 56, FAO, Rome, Italy.
4. Allen, R.G. 2000. Manual REF-ET Version Windows 2.0 Available online at [www.kimberly.idaho.edu](http://www.kimberly.idaho.edu)
5. Blaney, H.F., and Criddle, W.D. 1950. Determining water requirements in irrigated areas from climatological and irrigation data. Technical Paper no. 95, US Department of Agriculture, Soil Conservation Service, Washington. DC.
6. Cuenca, R.H. 1989. Irrigation System Design: An Engineering Approach. Englewood Cliffs, Press New Jersey, Prentice-Hall. 552p.
7. Devore, J., and Peck, R. 1986. Statistics, The exploration and analysis of data. St. Paul, Minnesota, West Press. Company. Pp: 626-641.
8. Doorenbos, J., and Pruitt. 1975, 1977. Guidelines for predicting crop water requirement, Irrigation and drainage paper 24 (Second Edition), Food and Agriculture organization of the united nations, Rome, Pp: 156-179.
9. Jensen, M.E., Burman, R.D., and Allen, R.G. 1990. Evapotranspiration and Irrigation Water Requirement. ASCE Manual, USA, 70: 332p.
10. Kar, G., and Vera, H.N. 2005. Climatic water balance, probable rainfall, rice crop water requirements and cold periods in AER 12.0 in India. Agricultural Water Management, 72:15-32.
11. Kouchakzadeh, M., and Bahmani, A. 2005. Assessment of artificial neural networks revenue in reducing required parameters for estimation of reference evapotranspiration. J. Agri. Sci. Islamic Azad University. 4: 87-97. (In Persian)

12. Monteith, J.L. 1965. Evaporation and environment, the state and movement of water in living organisms, XIX<sup>th</sup> symposium, Cambridge University Press, Swansea.
13. Naseri, A.A., Mohseni Movahed, A., Kashkooli, H.A., Ehsani, M.R., and Zare Abyaneh, H. 1999. Evaluation of different estimation ETo methods in Hamedan. *J. Agri. Res.*, 1:39-47.
14. Nikbakht, J., Mohammadi, K., and Ehteshami, M. 2007. Estimation of crop evapotranspiration in different probability levels: Case study in Maragheh, East Azerbaijan. *J. Agri. Sci. Islamic Azad University*. 1: 95-105. (In Persian)
15. Nikbakht, J., and Mirlatifi, S.M. 2002. Effect of ETo computing method, probability level and length of pick water requirement period on daily reference evapotranspiration. *J. Water and Soil Sci.* 16:2. 89-230. (In Persian)
16. Nixon, P.R., Lawless, G.P., and Richardson, G.V. 1972. Coastal California evapotranspiration frequencies. Proceeding of the American Society of Civil Engineers, J. the Irrig. and Drain. Division, 98:185-191.
17. Penman, H.L. 1963. Vegetations and Hydrology. Tech. Comm. No. 53, Commonwealth Bureau of Soils, Harpenden, England, 125p.
18. Pruitt, W.O., Von Oettigen, S., and Morgan, D.L. 1972. Coastal California evapotranspiration frequencies. Proceeding of the American Society of Civil Engineers, J. the Irrig. and Drain. Division, 98: 177-84.
19. Revenga, C. 2000. Will there be enough water?, Available online at [www.genie.uohawa.ca/nfrentte/cvg4122/content.html](http://www.genie.uohawa.ca/nfrentte/cvg4122/content.html).
20. Rezaei, A.M. 2000. Concepts of Statistics and Information (Revised)., the First Edition, Mashhad Publication, Mashhad, 188p. (In Persian)
21. Shahabifar, M., Kouchakzadeh, M., Mohammadzadeh, M., and Mirlatifi, S.M. 2004. Determination of sugar beet water requirement in Tehran province using Geo-statistics methods. *J. Scientific Information Database (SID)*. 20:2.133-147. (In Persian)
22. Sharifan, H. 2007. Evaluation of maximum water requirement in the different return period. *Iranian J. the Irrig. and Drain.* 1:2. 87-93. (In Persian)
23. Wright, J.L., and Jensen, M.E. 1972. Peak Water requirements in Southern Idaho. Proceeding of the American Society of Civil Engineers, J. Irrig. and Drain. Division, 98: 193-201.
24. Yoo, S.H., Choi, J.Y., and Jang, M.W. 2008. Estimation of design water requirement using FAO Penman-Monteith and optimal probability distribution function in South Korea. *Agri. Water Manag.*, 95:845-85.
25. Zare Abyaneh, H., Ghasemi, A., and Ahmadi, M. 2007. Comparison of estimated evapotranspiration values using different ETo methods with lysimeter data in Hamedan, Ninth Conference on Irrigation and Lowering Evaporation, Kerman. (In Persian)



*J. of Water and Soil Conservation*, Vol. 16(3), 2009  
[www.gau.ac.ir/journals](http://www.gau.ac.ir/journals)

## **Investigation of impact of plant water requirement calculation method, length of maximum water requirement period and probability level on optimal estimation of crop water requirement (Case Study: Hamedan)**

**M. Heydari<sup>1</sup>, S. Marofi<sup>2</sup>, \*A.A. Sabziparvar<sup>2</sup>,  
S.Sh. Mirmasoudi<sup>3</sup> and F. Ghiyami<sup>3</sup>**

<sup>1</sup>Assistant Prof. Dept. of Watershed and Irrigation, Bu-Ali Sina University, Hamedan,

<sup>2</sup>Associate Prof., Dept. of Watershed and Irrigation, Bu-Ali Sina University, Hamedan,

<sup>3</sup>M.Sc. students, Dept. of Watershed and Irrigation, Bu-Ali Sina University, Hamedan

### **Abstract**

The recent researches indicate that irrigating with mean values of crop reference evapotranspiration ( $ETo$ ) level will only provide about 50% of plant water demand. In such cases, irrigation level may not provide optimum water for plant and plant may face with water stress or water excess. With respect to the impact of  $ETo$  estimation methods, irrigation schedule period, and optimal probability level on plant water requirement, accurate evaluation of each case seems necessary to be studied. Using climatologies (1977-2006) of daily meteorological data, the daily  $ETo$  is estimated by means of five commonly used evapotranspiration methods (Blaney-Criddle, Penman, Penman-FAO24, Penman-Montieth and Penman-Montieth FAO-56). To evaluate the influence of each  $ETo$  models on actual plant water requirement, the daily evapotranspiration values were determined for wheat ( $ETc$ ) during the period of study (1977-2006). The dates of starting and ending of maximum water requirement (MWR) were determined by means of moving average approach. Using the extracted dates, mean daily  $ETo$  values were plotted for different periods from one day to 30-days of MWR and different probability levels. The results indicated that if we apply the mean daily  $ETc$  values in designing irrigation systems (7-day period), at 50% probability level and Blaney-Criddle, Penman-Montieth FAO-56, Penman, Penman-FAO24 and Penman-Montieth  $ETo$  methods, the water capacity of irrigation system will respectively be 12%, 10%, 18%, 14%, and 15% less than the corresponding values of 75% probability level. The statistical analysis of daily ( $ETc$ ) data also showed that by increasing the MWR period, the estimated mean daily evapotranspiration would decrease. In addition, for a specific period, using higher probability level causes more crop water requirement values.

**Keywords:** Reference evapotranspiration, Moving average, Probability level, Maximum water requirement period, Wheat

---

\* Corresponding Author; Email: [swsabzi@basu.ac.ir](mailto:swsabzi@basu.ac.ir)